



افزایش بازده اگزرژی نیروگاه بخار شهید منتظری اصفهان از طریق بازتوانی

غلامرضا احمدی شیخ شبانی^۱ ، داود طغرایی^{۲*} ، احمد رضا عظیمیان^۳

* نویسنده مسئول: Toghraei@iaukhsh.ac.ir

واژه‌های کلیدی

نیروگاه شهید منتظری، بازتوانی،
گرمایش آب تغذیه، تحلیل
اگزرژی، Cycle Tempo

چکیده

در این مقاله ضمن معرفی کلی روش‌های بازتوانی نیروگاه‌های بخار و ویژگی‌های هر روش، بهترین روش بازتوانی برای واحد‌های ۲۰۰ مگاواتی نیروگاه شهید منتظری معرفی می‌شود. روش گرمایش آب تغذیه، با توجه به ویژگی‌های منحصر به فردی که دارد، به عنوان روش مد نظر برای بازتوانی سیکل نیروگاه استفاده شده است و در ادامه، مراحل کار جهت انتخاب بهینه توربین گاز و مبدل‌های حرارتی تشریح می‌گردد. نرم افزار cycle tempo جهت شیوه سازی و بهینه سازی مورد استفاده قرار گرفته است. در این تحقیق از بازده اگزرژی به عنوان تابع هدف استفاده شده و با شناخت این موضوع که بازده اگزرژی در برگیرنده شرایط کلی نیروگاه است، بهینه سازی‌ها بر اساس آن انجام شده است. توان توربین بخار ثابت بوده و با توجه به اهداف بیان شده، توربین گاز مدل ۴۰۱ Westinghouse بازتوانی پیشنهاد می‌شود. ویژگی‌های مبدل‌های حرارتی فشار ضعیف و فشار قوی نیز ارائه شده‌اند. با انجام بازتوانی به روش گرمایش آب تغذیه با استفاده از توربین گاز مذکور، توان تولیدی به مقدار ۴۲/۹۵ درصد و بازده‌های انرژی و اگزرژی به ترتیب ۶ و ۵/۲ درصد افزایش می‌یابند. همچنین امکان استفاده از دیگر روش‌های بازتوانی مانند جعبه هوای داغ نیز در آینده وجود دارد.

۱- بهره‌برداری نیروگاه شهید محمد منتظری اصفهان

۲- استاد یار، دانشکده مکانیک، دانشگاه آزاد اسلامی واحد خمینی شهر

۳- استاد، دانشکده مکانیک، دانشگاه آزاد اسلامی واحد خمینی شهر

۱- مقدمه

نیز برنامه ریزی های اخیر وزارت نیرو، بحث بازتوانی نیروگاه های بخار نیز در دستور کار قرار گرفته است. با انجام بازتوانی در نیروگاه های بخار، چندین هدف به صورت همزمان دنبال می شوند. افزایش ظرفیت تولید نیروگاه، افزایش بازده سیکل جدید، کاهش تولید گازهای آلاینده و افزایش عمر مفید نیروگاه از اصلی ترین مزایای بازتوانی نیروگاه های بخار هستند [۴].

موضوع بازتوانی از دهه ۱۹۷۰ در کشورهای آمریکای شمالی و اروپا مطرح شد و در آن زمان چندین پروژه اجرایی در این زمینه نیز به اتمام رسید [۶، ۷ و ۸]. در سال های اخیر مطالعات متعددی در خصوص بازتوانی نیروگاه های بخار در کشورمان انجام شده است [۱۱، ۱۰، ۹ و ۱۲]. شاه نظری و همکاران [۱۳] دریک تحقیق به مطالعه پیرامون بازتوانی نیروگاه های بخار پرداختند. آنها انواع روش های بازتوانی جزئی را تشریح کرده و به انجام محاسبات برای بازده جدید سیکل نیروگاه لوشان در هر یک از روش های بازتوانی پرداختند. آنها همچنین محدودیت های فنی انواع بازتوانی کلی و جزئی را بیان کرده و یک تحلیل اقتصادی برای اعمال هر یک از روش های مذکور در نیروگاه لوشان انجام دادند. مقصودی و همکاران [۱۴] در یک تحقیق به بررسی و تحلیل اگزرسی و اعمال روش بازتوانی گرمایش آب تغذیه موازی برای نیروگاه شهید رجایی پرداختند. آنها با استفاده از الگوریتم ژنتیک و با استفاده از روش تحلیل اگزرسی، بهینه سازی های لازم را انجام دادند و از یک توربین گاز با ظرفیت ۲۵ مگاوات استفاده کردند و نشان دادند که این کار می تواند علاوه بر افزایش توان نیروگاه به مقدار ۷ درصد حالت عادی، بازده اگزرسی نیروگاه را نیز مقدار ۵ درصد افزایش دهد. زکی^۴ و

نیروگاه های حرارتی نوع سیکل بخار در حال حاضر ۳۴/۲ درصد از برق تولیدی در کشور را تحویل شبکه سراسری می دهند [۱]. این نوع نیروگاه ها که عمدها دارای عمر بالای ۱۸ سال هستند، یکی از اصلی ترین تکیه گاه های سایر بخش های صنعت جهت تأمین نیاز برق مصرفی آنها هستند. بازده پایین این نیروگاه ها ایده احداث نیروگاه های سیکل ترکیبی را بعد از معرفی توربین گاز به صنعت به وجود آورد [۲]. افزایش قیمت حامل های انرژی در سال های اخیر، قوانین باز دارنده حامیان محیط زیست در خصوص جلوگیری از تولید و انتشار گازهای آلاینده محیط زیست [۳]، محدودیت در منابع سوخت های فسیلی در دسترس، و توجه به اقتصادی تر کردن چرخه تولید [۴] از جمله عواملی اند که برنامه ریزی جهت افزایش بازده نیروگاه های تولید برق و مخصوصاً نیروگاه های سیکل بخار را ضروری کرده اند. از سوی دیگر رشد ۷/۰ درصدی سرانه مصرف برق در هر سال، افزایش جمعیت، افزایش نیاز بخش های مختلف صنعت به انرژی و همچنین نفوذ بیش از پیش دستگاه های برقی در همه بخش های زندگی روزمره، احداث نیروگاه های جدید را اجتناب ناپذیر می کند. در این میان برنامه ریزی برای تولید برق از انرژی های پاک در دستور کار دولت و سایر بخش های خصوصی قرار گرفته است. اما مطالعات و برنامه ریزی های صورت گرفته در این زمینه و سرعت احداث این نیروگاه ها جوابگوی نیاز کشور نیست، از این رو احداث نیروگاه های سوخت فسیلی همچنان جزء برنامه ریزی های وزارت نیرو است [۵]. در سال های اخیر مشاهده می شود که رویکرد دولت به سمت نیروگاه های سیکلت رکبی بوده و لذا جدیدترین نیروگاه های راه اندازی شده نیز از نوع سیکل ترکیبی هستند، اما با توجه به توضیحاتی که برای نیروگاه های سیکل بخار ارائه شد و

۲- بازتوانی نیروگاه های بخار

بازتوانی به اضافه کردن یک یا چند واحد توربین گاز به سیکل نیروگاه بخار به منظور استفاده از انرژی گازهای داغ خروجی از توربین گاز در فرایند تولید بخار گفته می شود [۱۶]. در هنگام بازتوانی یک نیروگاه بخار موجود، یک یا چند هدف به طور همزمان دنبال می شوند. از جمله این اهداف به موارد زیر می توان اشاره کرد [۱۶]:

۱. افزایش ظرفیت توان تولیدی نیروگاه
۲. افزایش بازده کلی سیکل جدید به واسطه کاهش سوخت مصرفی بویلر موجود
۳. بهبود عملکرد زیست محیطی به واسطه کاهش تولید NO_x و سایر گاز های آلاینده
۴. افزایش عمر مفید نیروگاه
۵. افزایش قابلیت عملیات

۳- روش های بازتوانی

در این بخش انواع روش های بازتوانی ارائه می شوند. روش های بازتوانی در دو دسته کلی در نیروگاه های سوخت فسیلی قابل اجرا هستند [۴]. بازتوانی نیروگاه های با سوخت غیرجامد^۹ و بازتوانی نیروگاه های با سوخت جامد^{۱۰}. با توجه به اینکه در ایران اکثر نیروگاه های بخار موجود از نوع نیروگاه های با سوخت غیر جامد هستند، به بررسی روش های مرتبط با آنها می پردازم. این روش ها در دو شاخه کلی دسته بندی می شوند [۱۸]:

۱. بازتوانی کاملی (HRBR)^{۱۱}
 ۲. بازتوانی جزئی (PR)^{۱۲}
- بازتوانی جزئی خود شامل روش های زیر است:
- A. روش جعبه هوای داغ (HWBR)^{۱۳}
 - B. روش گرمایش آب تغذیه موazی (FWHR)^{۱۴}
 - C. روش بویلر کمکی (SBR)^{۱۵}

دورماز^{۱۵} [۱۵] در یک تحقیق به بررسی تأثیر بازتوانی یک نیروگاه بخار به روش جعبه هوای داغ در بازده و میزان تولید CO_2 پرداختند. آنها این کار را با استفاده از نرم افزار شیوه سازی Thermoflex^۶ انجام دادند و از توربین گازهای با ظرفیت ۱۰ تا ۲۲ درصد توان سیکل بخار موجود برای این کار استفاده کردند. نتایج این شبیه سازی افزایش تقریبی ۱۱ تا ۲۷ درصدی توان تولیدی و کاهش همزمان ۷ درصدی تولید CO_2 را به همراه داشت. Wolowics^۷ و همکاران [۱۶] در یک تحقیق به شبیه سازی بازتوانی به روش گرمایش آب تغذیه برای یک نیروگاه بخار با ظرفیت هر واحد ۸۰۰ مگاوات در کشور هند پرداختند. ایشان برای شبیه سازی از توربین گاز مدل (APG7161-EC) استفاده کردند. با این تغییرات توان کل سیکل به واسطه ورود توربین گاز به چرخه تولید افزوده شده و توان توربین بخار نیز به واسطه افزایش دبی بخار عبوری از توربین بخار زیاد می شود. نتیجه این تحقیق نشان داد که با انجام این بازتوانی، توان تولیدی به میزان ۲۰ درصد افزایش می یابد. همچنین بازده کل سیستم نیز در حالت بارنامی به مقدار ۱ درصد اضافه شده و از ۴۳/۵ درصد به ۴۴/۵ درصد خواهد رسید. فرانکل^۸ [۱۷] در یک تحقیق به بررسی بهترین گزینه برای بازتوانی یک نیروگاه بخار ۳۰۰ مگاواتی در کشور روسیه پرداخت. او بعد از بررسی کلیه روش های بازتوانی، روش بازتوانی کامل را برای این نیروگاه پیشنهاد کرد. او که فرسودگی بویلر نیروگاه را دلیل این انتخاب دانست، توربین گاز مدل SGT5-4000F را برای این بازتوانی پیشنهاد کرد. طبق محاسبات ایشان بازده نیروگاه از ۳۸ درصد به ۵۶/۸ درصد افزایش خواهد یافت.

^۹ Combustion Turbine Based Repowering

^{۱۰} Solid Fuel Based Repowering

^{۱۱} Heat Recovery Boiler Repowering

^{۱۲} Partial Repowering

^{۱۳} Hot Wind Box Repowering

^{۱۴} Feed Water Heating Repowering

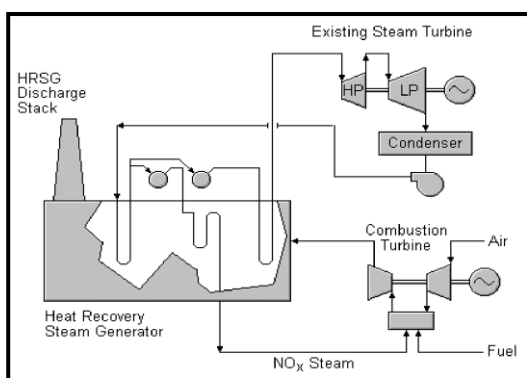
^{۱۵} Durmaz

^۶ Thermoflex

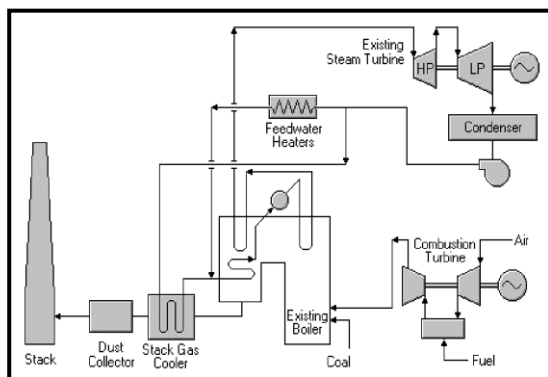
^۷ Wolowics

^۸ Fränkle

تغییرات در دمای گازهای داغ ورودی به سوپر هیترها، چیدمان کلیه سوپر هیترها می‌بایست عوض شود. کانال‌های انتقال هوا و دود نیز می‌بایست با کانال‌های جدید عوض شوند. فن‌های دمنده و مکنده نیز طبق محاسبات جدید انتخاب خواهند شد. کاهش تولید NO_x از اصلی ترین ویژگی‌های این روش است، لذا این روش، روشی مناسب برای بویلهای با سوخت مصرفی مازوت به حساب می‌آید.



شکل(۱) شماتیک اجرای روش بازتوانی یک نیروگاه بخار به روش بازتوانی کامل [۲۳]



شکل(۲) شماتیک اجرای روش بازتوانی یک نیروگاه بخار به روش جعبه هوای داغ [۲۳]

۳-۳ بازتوانی به روش گرمایش آب تغذیه

در این روش همانطور که از اسم آن نیز مشخص است، با استفاده از گازهای داغ خروجی از توربین گاز، آب تغذیه ورودی به بویلر پیش گرم می‌شود، بدین صورت که مبدل‌های حرارتی جدید جایگزین گرم کن‌های آب تغذیه

۱-۳ بازتوانی کامل

در این روش بویلر سیکل بخار موجود به طور کامل حذف شده و یک دستگاه بویلر بازیاب حرارتی^{۱۵} جایگزین آن می‌شود. محصولات احتراق توربین گاز وارد آن شده و بخار مورد نیاز توربین بخار را تأمین می‌کند. این روش به عنوان متدالوی ترین روش بازتوانی به حساب آمده و اغلب برای نیروگاه‌هایی با عمر بالای ۲۵ سال مورد استفاده قرار می‌گیرد [۱۹]. این روش که به تبدیل کامل سیکل بخار به سیکل ترکیبی می‌انجامد، در صورتی می‌تواند اقتصادی باشد که در یک نیروگاه بویلر به طور کامل از بین رفته باشد، ولی سایر قسمت‌ها مانند توربین، ژنراتور و مبدل‌های حرارتی پیش گرمکن آب تغذیه هنوز کارایی لازم را داشته باشند. یکی از موارد استفاده این روش در موقعي است که بویلر با حادثه‌ای مواجه شده و هزینه بازسازی آن تفاوت زیادی با ساخت بویلر بازیاب حرارتی نداشته باشد. در شکل ۱ شماتیک این روش از بازتوانی مشاهده می‌شود.

۲-۳ بازتوانی به روش جعبه هوای داغ

این روش با اضافه کردن توربین‌های گاز به واحد موجود و فرستادن خروجی‌های اگرزوگ سیکل توربین گاز به جعبه هوای داغ بویلر موجود انجام می‌شود. نیروگاه‌های مد نظر برای انجام این روش نیروگاه‌های جدید، مدرن و بزرگتر هستند [۲۰، ۲۱ و ۲۲]. در شکل ۲ شماتیک اجرای این روش در یک نیروگاه بخار قابل مشاهده است. یکی از اصلی‌ترین ویژگی‌های این روش حفظ بدنی بویلر موجود است. البته در این روش با توجه به اینکه گازهای داغ خروجی از توربین گاز جایگزین تعدادی از مشعل‌ها و بخشی از هوای مورد نیاز احتراق می‌شود، لذا تغییرات اساسی می‌بایست در بویلر صورت گیرد. به دلیل ایجاد

^{۱۵} Supplied Boiler Repowering

^{۱۶} Heat Recovery Steam Generator

۴-۳ بازتوانی به روش بویلر کمکی

این روش شامل اضافه کردن مجموعه توربین(های) گاز و بویلر کمکی به واحد موجود بدون برداشتن بویلر موجود می باشد [۴]. بویلر بازیاب حرارت می تواند به شکل های مختلفی به سیکل موجود اضافه شود. در اینجا فقط اشاره ای کوتاه به انواع حالت های ممکن خواهد شد. حالت ها با توجه به مسیر گازهای خروجی توربین گاز از بویلر بازیاب، و مسیر بخار خروجی از بویلر بازیاب قابل تقسیم بنده استند [۲۱، ۲۴، ۲۶ و ۲۷]:

مسیر گازهای خروجی از بویلر بازیاب:

۱- به سمت بویلر موجود.

۲- به سمت بیرون (Stack)

مسیر بخار خروجی از بویلر بازیاب:

۱- به سمت توربین های بخار HP و LP

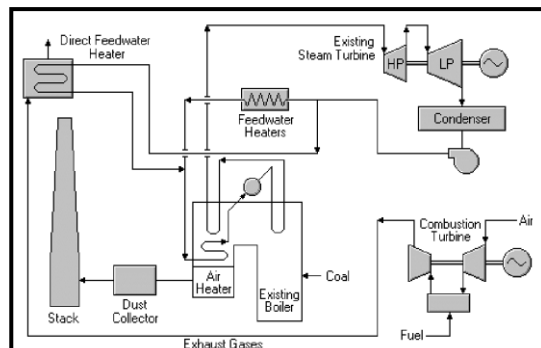
۲- به سمت توربین های بخار HP و IP

۳- به سمت توربین های بخار HP و بازگرمایش بخار تحولی به توربین IP

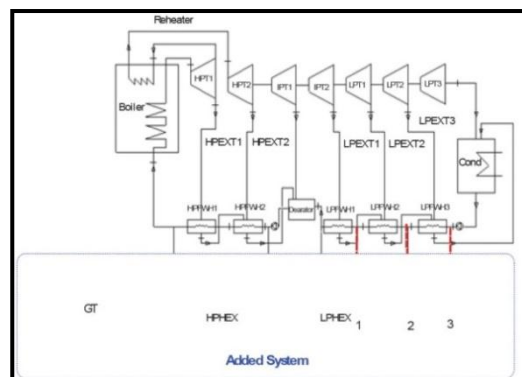
بازتوانی به این روش ممکن است با استفاده دو بویلر بازیاب نیز انجام شود [۲۱]. با توجه به توضیحات ارائه شده و تقسیم بندهای صورت گرفته، ذکر این نکته لازم است که در این روش از بازتوانی با استفاده از گازهای داغ خروجی از توربین گاز در یک دستگاه بویلر بازیاب حرارتی، به تولید بخار می پردازیم و بخار تولیدی را با توجه به شرایط ترمودینامیکی قابل دسترس، در نقطه یا نقاطی از سیکل بخار که شرایط نزدیک به دستگاه بویلر بازیاب را دارد، استفاده می کنیم. شکل ۵ شماتیک روش بویلر کمکی را نشان می دهد.

موجود می شوند و به جای استفاده از بخار زیر کش شده از توربین بخار جهت منبع حرارتی، از گازهای داغ خروجی توربین گاز استفاده می شود [۲۳]. نیروگاه های مناسب برای انجام این روش بازتوانی، همان نیروگاه های مناسب برای روش جعبه هوای داغ هستند [۲۴، ۲۱ و ۲۲].

شکل ۳ شماتیکی از این روش بازتوانی را نشان می دهد. در سال های اخیر و به دلیل محدودیت هایی که اجرای این طرح در خلاً کندانسور بوجود می آورد، طرح جدیدی به نام بازتوانی به روش گرمایش آب تغذیه موازی^{۱۷} پیشنهاد شده است. در این طرح درصدی از آب تغذیه از مسیر قبلی خود عبور کرده و مابقی از مسیر جدید تعییه شده از مبدل های حرارتی جدید عبور می کند [۲۵]. در شکل ۴ نمونه ای از این روش بازتوانی مشاهده می شود.



شکل (۳) شماتیک اجرای روش بازتوانی یک نیروگاه بخار به روش گرمایش آب تغذیه [۲۵]



شکل (۴) شماتیک اجرای روش بازتوانی یک نیروگاه بخار به روش گرمایش آب تغذیه موازی [۲۵]

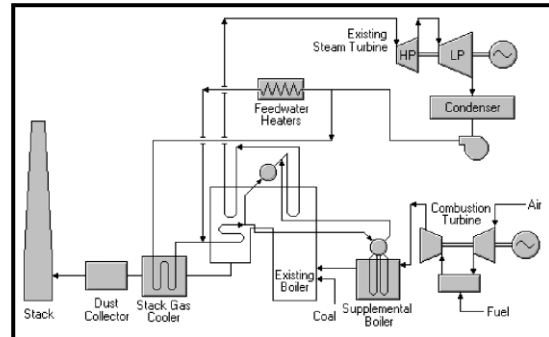
^{۱۷} Parallel Feed Water Heating Repowering

احداث گردیده است. نیروگاه شامل ۸ واحد بخار مشابه با ظرفیت هر واحد ۲۰۰ مگاوات است که مشخصات فنی هر واحد در جدول ۱ بیان شده است. سیکل حرارتی نیروگاه یک سیکل رنکین است، که فرآیند حرارتی آن در شکل ۶ به صورت مختصر مشاهده می‌شود.

هر یک از واحدهای این نیروگاه دارای مدار آب و بخار به شرح زیر است:

آب مقطر با دمای ۴۵/۶ درجه سانتی گراد از کندانسور وارد پمپ‌های مرحله اول شده و تا ۹ اتمسفر تحت فشار قرار می‌گیرد. سپس وارد پالیشینگ پلت شده و با عبور از فیلترها درجه خلوص آن افزایش می‌یابد. در مرحله بعد پس از عبور آب از اجکتور و گلندر کندانسور توسط پمپ‌های مرحله دوم فشار آن تا ۱۹/۵ اتمسفر افزایش یافته و پس از عبور از گرم کن فشار ضعیف شماره ۱ و گلندر کولر، وارد گرم کن‌های فشار ضعیف می‌شود.

در گرم کن‌های فشار ضعیف، آب تغذیه توسط بخار گرفته شده از توربین تا دمای ۱۵۷ درجه سانتی گراد گرم می‌شود. آب خروجی از گرم کن‌های فشار ضعیف وارد دیاراتور شده و در این مرحله تحت فرآیند گاز زدایی قرار می‌گیرد. سپس توسط پمپ‌های تغذیه بویلر تحت فشار ۱۸۰ اتمسفر قرار گرفته و به گرم کن‌های فشار قوی هدایت می‌گردد. در گرم کن‌های فشار قوی، آب تغذیه تا ۲۴۵ درجه سانتی گراد گرم شده و با گذشتן از اکونومایزر و جذب حرارت دود خروجی از بویلر به دمای ۳۲۰ درجه سانتی گراد رسیده و به درام وارد می‌شود. در بویلر پس از ورود آب از درام به لوله‌های دیواره‌ای و انتقال حرارت از طریق مشعل‌ها، آب و بخار مجدداً وارد درام شده و بخار آن جدا می‌شود و به سوپر گرمکن‌ها هدایت می‌شود و تا ۵۴۰ درجه گرم می‌شود. بخار خشک خروجی از بویلر با فشار ۱۳۰



شکل (۵) شماتیک اجرای روش بازتوانی یک نیروگاه بخار به روشنی کمکی [۲۰]

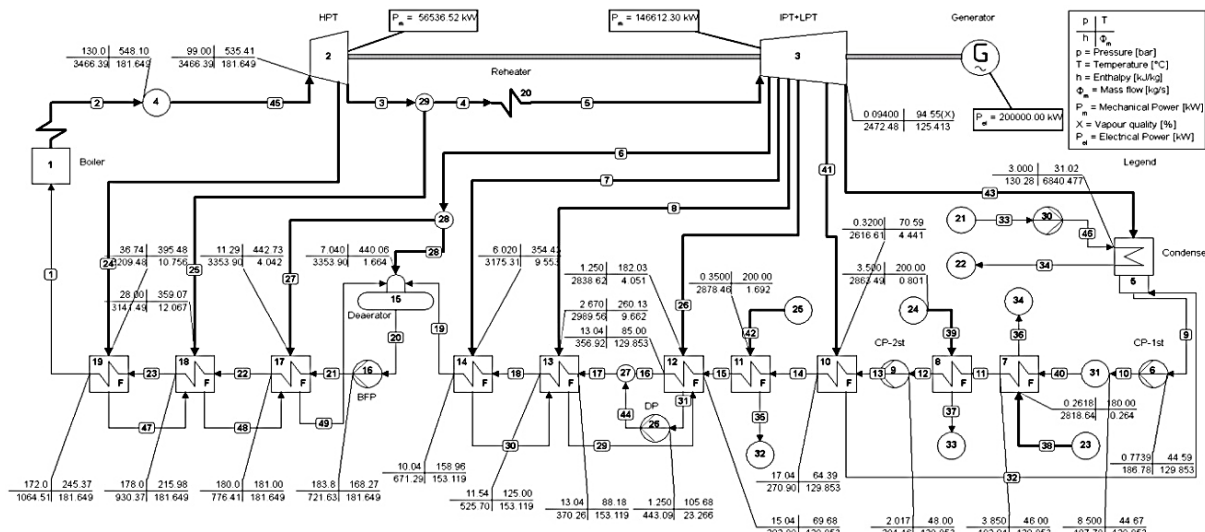
۴- پارامترهای مهم در انتخاب گزینه مناسب برای بازتوانی یک نیروگاه

برای انتخاب روش مناسب بازتوانی، پارامترهای متعددی باید در نظر گرفته شوند و در نهایت با توجه به میزان اهمیت هر یک از پارامترها در نیروگاه مد نظر، روش مناسب انتخاب می‌گردد. در بخش‌های قبل توضیحات مختصراً در مورد هر یک از روش‌های بازتوانی ارائه شد. در این قسمت پارامترهای محدود کننده و موثر در انتخاب روش بازتوانی می‌شوند. پارامترهای مهم و تأثیرگزار در انتخاب روش بازتوانی به شرح زیر می‌باشند [۴]:

۱. میزان افزایش توان تولیدی در سیکل جدید
۲. میزان افزایش بازده سیکل بازتوانی شده نسبت به سیکل بخار موجود
۳. مدت زمان خارج بودن سیکل بخار از مدار تولید برای انجام عملیات بازتوانی
۴. هزینه سرمایه گذاری اولیه
۵. توان توربین گاز
۶. مسائل زیست محیطی
۷. سایر عوامل محدود کننده

۵- توضیح سیکل نیروگاه

نیروگاه شهید منتظری اصفهان در ۱۵ کیلومتری شمال غرب اصفهان و در کنار بزرگراه اصفهان-تهران، جنب پالایشگاه اصفهان در زمینی به مساحت ۲/۲ میلیون متر مربع



شکل (۶) نمودار فرایند سیکل ساده ۲۰۰ مگاواتی نیروگاه شهید منتظری [۲۸]

۶- انتخاب روش مناسب برای بازتوانی نیروگاه شهید منتظری

در این مقاله روش گرمایش آب تغذیه برای نیروگاه شهید محمد منتظری اصفهان مورد تجزیه و تحلیل قرار می‌گیرد. در این بخش دلایل پیشنهاد روش گرمایش آب تغذیه برای نیروگاه بیان می‌شوند. از جمله اصلی ترین ویژگی‌های این روش هزینه سرمایه‌گذاری کمتر نسبت به سایر روش‌ها است. طبق توضیحات ارائه شده برای بازتوانی به روش گرمایش آب تغذیه، اگر این روش در واحدهای بخار نیروگاه اجرا شود، محدودیتی برای اجرای روش‌های دیگر (به عنوان مثال روش جعبه هوای داغ) به وجود نخواهد آورده، بدین معنی که می‌توان بازتوانی به روش جعبه هوای داغ را نیز همزمان در واحدها اجرا نمود. البته این امر با محدودیت فضای لازم برای توربین‌های گاز مواجه خواهد بود. در روش‌های جعبه هوای داغ و بویلر کمکی اصلی ترین فاکتور محدود کننده بویلر موجود هستند. بدین معنی که جهت انجام بازتوانی می‌بایست مطالعات بسیار دقیق بر روی بویلر صورت گرفته و انتخاب تجهیزات جدید مناسب با بویلر انجام شود. در صورتی که در روش گرمایش آب تغذیه تنها فاکتور محدود کننده توربین بخار است، که دبی

اتمسفر و درجه حرارت ۵۴۰ درجه سانتی گرادوارد توربین فشار قوی می‌شود. بخار خروجی از توربین فشار قوی مجدداً در بویلر تا ۵۴۰ درجه سانتی گراد گرم شده و با فشار ۲۴/۵ اتمسفر وارد توربین فشار متوسط می‌گردد و پس از خارج شدن از توربین فشار متوسط وارد توربین فشار ضعیف می‌شود. بخار خروجی توربین فشار ضعیف نیز در کندانسور با آب خنک شده مخلوط گردیده و به آب تبدیل می‌شود و مجدداً همین مسیر را طی می‌نماید.

جدول (۱) مشخصات کلی واحدها [۲۸]

پارامتر	واحد	مقدار
توان تولید ناخالص	MW	۲۰۰
صرف داخلی هر واحد	MW	۱۴
دبی سوخت مصرفی	Nm³/h	۵۴×۱۰ ^۳
هیت ریت	Kj/kw.h	۱۱۴۳۹/۶
دبی بخار خط اصلی	ton/h	۶۷۰
فشار بخار خط اصلی	atm	۱۳۰
دمای بخار خط اصلی	°C	۵۴۰
دمای آب ورودی به بویلر	°C	۲۴۷
دمای گازهای خروجی از دودکش	°C	۱۶۰
دبی هوا احتراق ورودی به بویلر	Nm³/h	۹/۶×۱۰ ^۴
تعداد فن‌های دمنده بویلر	عدد	۲
تعداد فن‌های مکنده بویلر	عدد	۲
تعداد مشعل‌ها	عدد	۱۲
بازده ترکیبی الکتروموتورها و پمپ‌ها	%	۹۵

برای انجام بهینه سازی در بازتوانی به روش گرمایش آب تغذیه، چندین روش وجود دارد. از جمله پارامترهایی که می‌توان در بهینه سازی مدنظر قرار گرفت و به عنوان تابع هدف از آنها استفاده کرد، بازده سیکل نهایی، میزان افت مصرف سوخت، میزان افزایش توان تولیدی، کاهش هزینه برق تولیدی و کاهش آلاینده‌های زیست محیطی هستند [۱۴]. از عوامل نام برده می‌توان یک یا چند مورد را به عنوان تابع هدف انتخاب و کلیه محاسبات را براساس آنها انجام داد. در این تحقیق از بازده اگزرسی به عنوان تابع هدف استفاده شده و با شناخت این موضوع که بازده اگزرسی در برگیرنده شرایط کلی نیروگاه بازتوانی شده است، بهینه سازی‌ها را براساس آن انجام خواهیم داد. برای انجام بازتوانی از دو مبدل حرارتی استفاده می‌شود. یکی از مبدل‌های حرارتی که مبدل حرارتی فشار ضعیف^{۱۸} است، در مسیر آب تغذیه و قبل از ورود آب به گازرزا قرار خواهد گرفت. این مبدل آب تغذیه بعد از گلنک کولر را دریافت کرده و ضمن گرم کردن آن تا دمای مورد نیاز، به گازرزا تحویل می‌دهد. مبدل حرارتی دیگر که مبدل حرارتی فشار قوی^{۱۹} است، در مسیر آب تغذیه و بعد از پمپ‌های آب تغذیه بویلر قرار می‌گیرد. افزایش دمای آب تغذیه در این مبدل نیز به مقداری انجام می‌شود که برای ورود به بویلر نیاز است. سیکل بازتوانی شده مد نظر در شکل ۷ قابل مشاهده است.

۱-۶ فرضیات لازم در انجام محاسبات بازتوانی

- ۱- میزان ۴ درصد تلفات حرارتی برای مبدل‌های جدید در نظر گرفته می‌شود.
- ۲- فشار بخار ورودی به زیرکش‌ها توسط قانون استودلا^{۲۰} محاسبه می‌شوند [۱۴].

عبوری از طبقات پایینی و دبی بخار ورودی به کندانسور مواردی هستند که ایجاد محدودیت می‌کنند [۱۴]. در روش سیکل ترکیبی نیز با توجه به اینکه بویلر موجود می‌باشد به طور کامل حذف شده و بویلر بازیاب حرارتی جایگزین آن شود، هزینه سرمایه گذاری نسبتاً زیادی را به دنبال دارد [۴]. از طرفی هم بویلرهای واحدهای نیروگاه شهید منظری برخلاف تعمیرات متعدد مورد نیاز اخیر در اثر فرسودگی لوله‌های سوبرهیتر و دیواره‌ای، پیش‌بینی می‌شود که هنوز بخش زیادی از عمر مفید آنها باقی مانده است [۲۸]. روش گرمایش آب تغذیه تنها روش بازتوانی است که دو سیکل بخار و توربین گاز می‌توانند به صورت کاملاً مستقل و در محدوده بار حداکثر خود در چرخه تولید قرار گیرند، بدین معنی که اگر سیکل توربین گاز با مشکل خاصی مواجه شود و یا به هر دلیل دیگر مانند محدودیت در سوخت گاز از سرویس خارج شود، سیکل بخار می‌تواند بدون هیچ مشکلی در سرویس باقی بماند، تنها با این تفاوت که بازده قبلی خود کار کند. از جمله عوامل مهم و تأثیرگذار دیگر در انتخاب روش گرمایش آب تغذیه محدودیت‌های موجود در سوخت گاز طبیعی برای نیروگاه است. در سالهای اخیر شاهد این موضوع هستیم که سازمان حفاظت محیط زیست به استناد قوانین محدود کننده در تولید گازهای زیان آور مانند NO_x در نیروگاه، میزان مصرف مازوت در نیروگاه شهید منظری را به روش‌های مختلف به حداقل رسانده است [۲۹]. روش گرمایش آب تغذیه از این جهت بهترین گزینه خواهد بود، چرا که اولاً مصرف گاز طبیعی آن به واسطه ظرفیت پائین توربین گاز کم است و ثانیاً توربین گاز کاملاً مستقل بوده و در صورت کاهش سهمیه گاز مصرفی نیروگاه، توربین گاز می‌تواند از مدار خارج شود.

^{۱۸} Low Pressure Heat Exchanger

^{۱۹} High Pressure Heat Exchanger

^{۲۰} Stoddard law

حرارت تبادل یافته در این مبدل‌ها به مقدار مورد نیاز برای

گرمایش آب تغذیه است که در زیر بیان می‌شوند [۱۴]:

$$\dot{Q}_{LPHEX} = \dot{m}_{LPFW}(h_{out,LPFWH_f} - h_{in,LPFWH_i}) \quad (2)$$

$$\dot{Q}_{HPHEX} = \dot{m}_{HPFW}(h_{out,HPFWH_f} - h_{in,HPFWH_i}) \quad (3)$$

از طرفی این مقادیر حرارتی از سمت توربین گاز برای مبدل فشار ضعیف و فشار قوی به ترتیب در روابط زیر بیان می‌شوند:

$$\dot{Q}_{LPHEX} = \dot{m}_{gt} * CP_{eg,LP}(T_{in,LPHEX} - T_{out,LPHEX}) \quad (4)$$

$$\dot{Q}_{HPHEX} = \dot{m}_{gt} * CP_{eg,HP}(T_{out,gt} - T_{out,HPHEX}) \quad (5)$$

در صورتی که بخواهیم بیشترین استفاده از گازهای داغ خروجی از توربین گاز را داشته باشیم، طراحی‌ها باید به گونه‌ای باشد که گازهای خروجی از مبدل حرارتی فشار ضعیف کمترین دمای ممکن را داشته باشند. از طرفی یکی از معضلاتی که در این تجهیزات در حین بهره برداری به وجود می‌آید، تشکیل شبنم بر روی تجهیزات و خوردگی قطعات فلزی است، لذا مجبوریم که دمای این نقطه را کمی بیشتر از نقطه شبنم انتخاب کنیم که این مقدار برابر با 110°C است [۱۴]. در روابط فوق CP_{eg} ظرفیت حرارتی مخصوص گاز است. برای محاسبه آن می‌توان از رابطه زیر استفاده کرد [۳۱].

$$CP_{eg,HP} = 1/80.83 - 2.3127 * 10^{-3} T_{out,gt} + 4/0.45 * 10^{-6} T_{out,gt}^2 - 1/7363 * 10^{-9} * T_{out,gt}^3 \quad (6)$$

رابطه فوق برای محاسبه ظرفیت حرارتی مخصوص گازهای ورودی به مبدل حرارتی فشار قوی استفاده می‌شود. برای محاسبه ظرفیت حرارتی مخصوص گازهای ورودی به مبدل حرارتی فشار ضعیف نیز می‌توان از رابطه مشابهی استفاده کرد.

- ۳- کلیه گرمکن‌های آب تغذیه و مبدل‌های

حرارتی به صورت مبدل حرارتی با جریان متقابل^{۱۱} در نظر گرفته شده‌اند.

- ۴- از توربین گاز با ظرفیت مشخص استفاده خواهد شد. برای این منظور ابتدا به محاسبات لازم برای انتخاب توربین گاز با ظرفیت مناسب پرداخته شده و بعد از آن توربین‌های در محدوده ظرفیت محاسبه شده مورد استفاده قرار می‌گیرند.

- ۵- جهت محاسبه اگرگری تجهیزات از شرایط محیط استاندارد ($P=101/3 \text{ bar}$, $T=25^{\circ}\text{C}$) استفاده شده است.

- ۶- میزان افت دمای گازهای خروجی از توربین گاز تا ورودی به مبدل فشار قوی 20°C در نظر گرفته شده است.

- ۷- میزان افت دمای گازهای خروجی از مبدل فشار قوی تا ورودی به مبدل فشار ضعیف 20°C در نظر گرفته شده است.

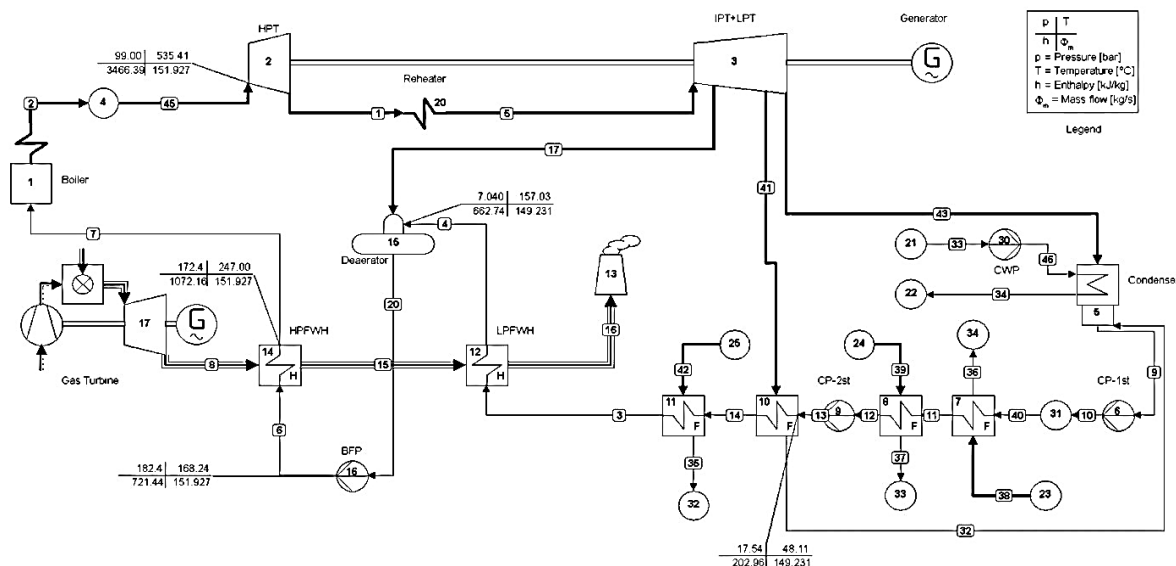
- ۸- مقدار بازده ایزنتروپیک جدید توربین بخار، متأثر از تغییر در دبی بخار عبوری از آن، با استفاده از رابطه زیر بیان می‌شود [۳۰]:

$$\frac{\eta_{isen,new}}{\eta_{isen,first}} = -1/0.167 \left(\frac{\dot{m}_{st,new}}{\dot{m}_{st,first}} \right)^4 + 2/4447 \left(\frac{\dot{m}_{st,new}}{\dot{m}_{st,first}} \right)^3 - 2/1812 \left(\frac{\dot{m}_{st,new}}{\dot{m}_{st,first}} \right)^2 + 1/0.535 \left(\frac{\dot{m}_{st,new}}{\dot{m}_{st,first}} \right) + 0/201 \quad (1)$$

۲-۶ مدل سازی مبدل‌های حرارتی

به منظور انتخاب و یا طراحی مبدل‌های حرارتی مورد نیاز، محاسبات لازم در این خصوص می‌بایست انجام شود. در این قسمت به انجام محاسبات لازم جهت مشخص کردن ظرفیت حرارتی مورد نیاز مبدل‌ها خواهیم پرداخت. میزان

^{۱۱} counter flow Heat exchanger



شکل(۷) نمودار فرایند واحد های باز توانی شده نیرو گاه به روش گرمایش آب تعذیبه برای کلیه گرمکن های آب تعذیب

$$CP_{air,comp} = 1 / \cdot 4 \cdot 1 - (\gamma / 1 \cdot 1 \cdot 1 \cdot 1) \frac{T_{in,air}}{1 \cdot 1} + (\alpha / 4 \cdot 1 \cdot 1 \cdot 1 \cdot 1) \frac{T_{in,air}}{1 \cdot 1 \cdot 1} \\ - (\delta / 4 \cdot 1 \cdot 1 \cdot 1 \cdot 1) \frac{T_{in,air}}{1 \cdot 1 \cdot 1 \cdot 1} + (\gamma / 1 \cdot 1 \cdot 1 \cdot 1 \cdot 1) \frac{T_{in,air}}{1 \cdot 1 \cdot 1 \cdot 1 \cdot 1} \quad (4)$$

در رابطه ۷ پارامتر FA نسبت سوخت به هوا است که با استفاده از رابطه زیر بدست می آید [۱۴]:

$$FA = \frac{[CP_{g,in,GT}(T_{in,gas} - T_{in,air}) - CP_{air,in,comp}(T_{out,air} - T_{in})]}{LHV * \eta_{combustion} - CP_{g,in,GT}(T_{in,gas} - T_{in,air})} \quad (14)$$

راظه زیر محاسبه می شود [۱۴]:

$$T_{out,air} = T_{in,air}(1 + \frac{r_{p,cc}(\frac{k_{air^{-1}}}{k_{air}}) - 1}{\eta_{comp}}) \quad (11)$$

با فرض اینکه توربین گاز به طور کامل عایق گرما است، دمای گازهای خروجی از توربین گاز توسط رابطه زیر بیان می‌شود:

$$T_{out,gt} = T_{in,gas}(1 - \eta_{gt}(1 - r_{p,c}^{\left(\frac{1-k_{gas}}{k_{gas}}\right)})) \quad (14)$$

٤-٦ تحلیل اگز رڈی

استفاده م. شه [۳۰]: به منظور محاسبه بازده اگزرزی سیکل جدید از رابطه

$$\eta_{ex, combined\ cycle} = \frac{\sum_{i=1}^n \dot{W}_i}{\sum_{i=1}^n E\dot{X}_f} \quad (13)$$

۳-۶ مدل سازی توربین گاز

برای مدل سازی توربین گاز، از چندین توربین گاز استفاده خواهد شد. توان توربین گاز در محدوده بین ۷۰ تا ۱۵۹ مگاوات انتخاب شده است. در این قسمت روابطی جهت مدل سازی توربین گاز بیان می شود. در بخش قبلی و با استفاده از روابط ۲ تا ۶ دمای مورد نیاز گازهای داغ خروجی از توربین گاز به دست آمد. در اینجا به محاسبه توان توربین گاز با داشتن دمای گازهای خروجی می پردازیم. توان خالص توربین گاز با استفاده از رابطه زیر بیان می شود [۱۴]:

$$\dot{W}_{gt} = \dot{m}_{air} * [(\gamma + FA) * CP_{g,in,GT} * (T_{in,gas} - T_{out,at}) - CP_{air,in,comp} * (T_{out,air} - T_{in,air})] \quad (\text{V})$$

برای محاسبه ظرفیت حرارتی بیان شده در رابطه فوق، از روابط زیر استفاده می‌شود [۱۴]:

$$CP_{g,in,GT} = \cdot 991615 + (\gamma / 997.3) \frac{T_{in,gas}}{1.5} \\ + (2 / 7129) \frac{T_{in,gas}}{1.4} \\ - (1 / 22442) \frac{T_{in,gas}}{1.3} \quad (A)$$

به منظور محاسبه $\dot{Q}_{Gas\ Turbine}$ نیز از موازنہ انرژی در محفظه احتراق توربین گاز استفاده می کنیم:

$$\dot{Q}_{Gas\ Turbine} = \frac{\dot{m}_{air,in}(h_{out,combustion\ chamber} - h_{in,combustion\ chamber})}{\eta_{th,combustion\ chamber}} \quad (21)$$

۷- مشاهده نتایج و نتیجه گیری

نیروگاه های حرارتی نوع سیکل بخار در حال حاضر ۳۴/۲ درصد از برق تولیدی کشور را به خود اختصاص داده اند و اکثر آنها دارای عمر بالای ۱۸ سال هستند. بازده پائین این نیروگاه ها در مقایسه با نیروگاه های سیکل ترکیبی و افزایش قیمت حامل های انرژی باعث شد که دولت در برنامه ریزی جدید خود وزارت نیرو را مکلف کند که متوسط بازده نیروگاه های موجود را به بالای ۴۱ درصد افزایش دهد. در این میان یکی از بهترین گزینه های پیش رو برای نیروگاه های بخار، بازتوانی آنها است. در بازتوانی نیروگاه بخار به صورت همزمان چندین هدف دنبال می شوند. افزایش ظرفیت توان تولیدی نیروگاه، افزایش بازده کلی سیکل جدید، بهبود عملکرد زیست محیطی به واسطه کاهش تولید NO_x و سایر گاز های آلاینده، افزایش عمر مفید نیروگاه و افزایش قابلیت عملیات از اصلی ترین اهداف و مزایای بازتوانی به شمار می آیند. نیروگاه شهید منتظری اصفهان با توان تولید ۱۶۰۰ مگاوات یکی از نیروگاه های مؤثر و با سابقه درخشنan در صنعت برق ایران است، که با توجه به توضیحات ارائه شده در این قسمت و اینکه بازده حرارتی خالص نیروگاه در حال حاضر حدود ۳۲ درصد است [۳۴] و ۳۰ سال از نصب اوپلین واحد از ۸ واحد مشابه ۲۰۰ مگاواتی آن می گذرد [۲۸]، می تواند به عنوان یکی از الیت های اجرای عملیات بازتوانی مورد مطالعه قرار گیرد. در میان سایر روش های بازتوانی، روش گرمایش آب تغذیه دارای مزایای متعددی است که می تواند در واحد های این نیروگاه مورد استفاده قرار گیرد. هزینه سرمایه گذاری کمتر

با توجه به اینکه در سیکل بازتوانی شده جدید دو سیکل بخار و توربین گاز به طور همزمان در حال مصرف سوخت و تولید توان هستند، لذا برای رابطه فوق داریم [۳۰]:

$$\sum_{i=1}^n \dot{E}X_f = \dot{E}X_{f,st} + \dot{E}X_{f,gt} \quad (14)$$

$$\sum_{i=1}^n \dot{W}_i = \dot{W}_{st} + \dot{W}_{gt} \quad (15)$$

جهت محاسبه اگزرژی سوخت ورودی به سیکل از رابطه زیر استفاده می شود [۳۲]:

$$\dot{E}X_f = \psi_f * \dot{m}_f \quad (16)$$

به منظور محاسبه اگزرژی مخصوص سوخت مصرفی و با توجه به اینکه سوخت مصرفی گاز طبیعی می باشد، از رابطه زیر استفاده می شود [۳۲]:

$$\psi_f = \xi * LHV_f \quad (17)$$

ضریب ξ که مقدار آن به ترکیب شیمیایی سوخت مصرفی بستگی دارد و در مراجع مختلف مقادیر تجربی متعددی برای آن بیان شده است، برای سوخت های با فرمول کلی

$$C_xH_y \text{ از رابطه زیر محاسبه می شود [۳۳]:} \\ \xi = \frac{y}{x} - \frac{0.0698}{0.033 + 0.0169} \quad (18)$$

حال به منظور محاسبه دبی سوخت ورودی به سیکل، سوخت مصرفی در بویلر سیکل بخار و توربین گاز باید به صورت جداگانه محاسبه شوند. برای محاسبه سوخت مصرفی سیکل بخار از رابطه زیر استفاده می کنیم:

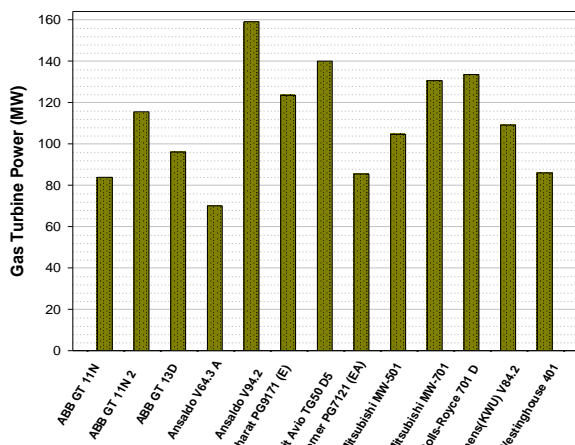
$$\dot{m}_{f,b} = \frac{\dot{Q}_{boiler}}{LHV_f} \quad (19)$$

جهت محاسبه \dot{Q}_{boiler} از موازنہ انرژی در بویلر استفاده می کنیم:

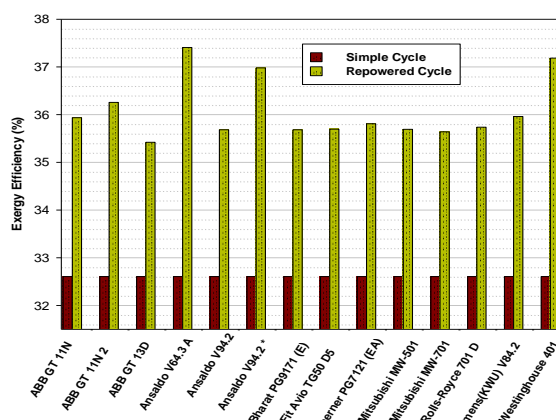
$$\dot{Q}_{boiler} = \frac{\dot{m}_{fw,in}(h_{out,boiler} - h_{in,boiler}) + \dot{m}_{reh}(h_{out,reh} - h_{in,reh})}{\eta_{th,b}} \quad (20)$$

که مقدار $\eta_{th,b}$ نیز برای بویلر نیروگاه شهید منتظر برابر با ۹۰/۵۵ درصد اعلام شده است [۳۴].

جلوگیری از ایجاد نقطه شبنم بر روی تجهیزات است. استفاده از یک توربین گاز مدل V۹۴.۲ Ansaldo با توان نامی ۱۵۹ مگاوات برای دو واحد به طور همزمان (که با علامت* در نمودار مشخص شده است) نیز گزینه بعدی از لحاظ افزایش بازده خواهد بود.



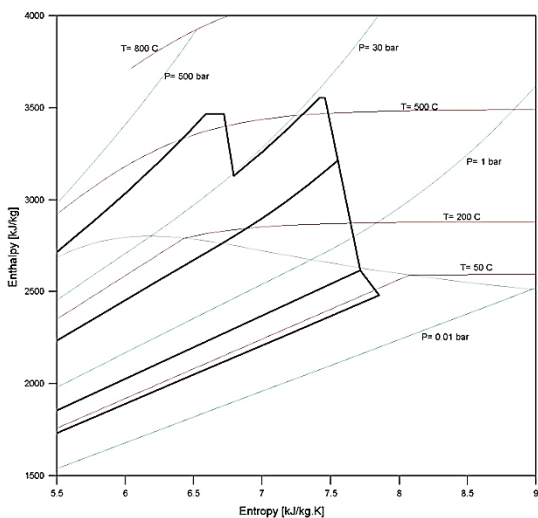
شکل(۸) میزان افزایش بار سیکل جدید با استفاده از توربین گازهای متفاوت



شکل(۹) میزان افزایش بازده اگررژی سیکل جدید با استفاده از توربین گازهای متفاوت

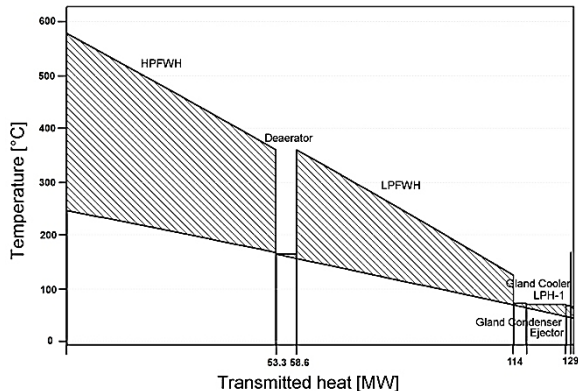
در جدول ۲ می‌توان پارامترهای ترمودینامیکی مبدل‌های Westinghouse که با استفاده از توربین گاز مدل ۴۰۱ برای بازتوانی مورد استفاده قرار می‌گیرند را مشاهده کرد. در انتخاب مبدل‌های حرارتی برای اینکه بتوانیم ضمن حفظ پارامترهای ترمودینامیکی سایر نقاط سیکل بخار، گرمایش آب تغذیه را تا دماهای موردنظر برای هر دو مبدل انجام دهیم، چندین نکته در نظر گرفته شده است. همچنین

نسبت به سایر روش‌ها، استقلال کامل هر دو سیکل بخار و توربین گاز از یکدیگر (در صورت نیاز)، مصرف سوخت گاز طبیعی اجباری کمتر، سادگی در اجرای طرح، مدت زمان کمتر خارج بودن واحد بخار از مدار برای اجرای عملیات بازتوانی و امکان اجرای همزمان سایر روش‌های بازتوانی از جمله مزایای روش گرمایش آب تغذیه هستند. اصلی ترین محدودیت‌های اجرای این طرح دبی عبوری بخار در طبقات پائین توربین بخار و خلا کندانسور هستند، که با اجرای روش گرمایش آب تغذیه موازی تا حدودی می‌توان این موارد را نیز کنترل کرد. در این مقاله ضمن پیشنهاد بازتوانی به روش گرمایش آب تغذیه برای واحد های نیروگاه شهید متظری، به شبیه سازی و بهینه سازی سیکل بازتوانی شده با روش مذکور پرداخته شده است. با توجه به توضیحات ارائه شده در قسمت‌های قبل و مشابه شکل ۷ یک مبدل فشار قوی جایگزین گرمکن‌های آب تغذیه فشار قوی شده و یک مبدل فشار ضعیف نیز جایگزین گرمکن‌های آب تغذیه فشار ضعیف شماره‌های ۲، ۳ و ۴ شده است. برای گرمایش آب تغذیه از چندین توربین گاز استفاده شده و تأثیر هر کدام در میزان افزایش توان تولیدی و همچنین افزایش بازده اگررژی سیکل جدید مورد بررسی قرار گرفته است. در شکل‌های ۸ و ۹ می‌توان ضمن مشاهده نتایج مذکور به انتخاب توربین گاز مناسب پرداخت. بهترین بازده برای سیکل در این روش با استفاده از توربین گاز مدل Ansaldo V۶۴.۳A قابل حصول است، اما در این حالت دمای محصولات احتراق در خروجی مبدل فشار ضعیف به 58°C میرسد که در عمل این حالت امکان Westinghouse پذیر نیست. استفاده از توربین گاز مدل ۴۰۱ در رتبه دوم از لحاظ افزایش بازده اگررژی خواهد بود. در این حالت دمای محصولات احتراق در خروج از مبدل فشار ضعیف برابر 133.5°C است که بهترین حالت از لحاظ

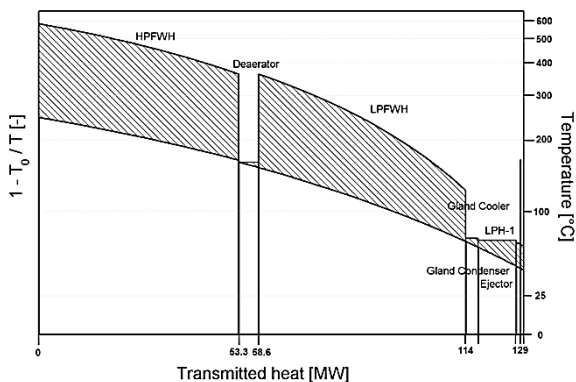


شکل(۱۱) نمودار Mollier مربوط به رفتار ترمودینامیکی سیکل بازتوانی شده نیروگاه

با اعمال بازتوانی به روش گرمایش آب تغذیه و استفاده از توربین گاز مدل ۴۰۱ Westinghouse توان تولیدی نیروگاه به مقدار ۴۲/۹۵ درصد و بازدههای انرژی و اگزرژی نیز به ترتیب مقدار ۶ و ۵/۲ درصد افزایش می‌یابند.



شکل(۱۲) نمودار QT برای مبدل های حرارتی گرمکن آب تغذیه سیکل بازتوانی شده

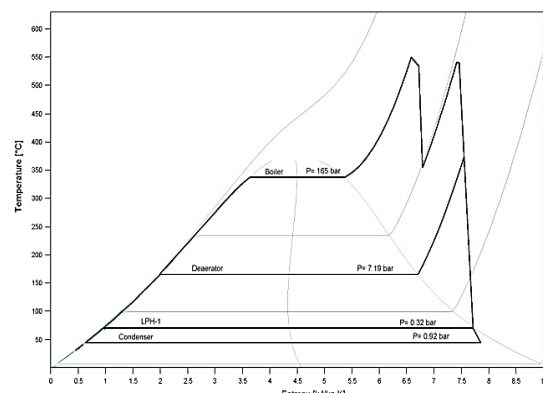


شکل(۱۳) نمودار Value برای مبدل های حرارتی گرمکن آب تغذیه سیکل بازتوانی شده

به منظور حفظ شرایط کاری توربین گاز در محدوده استاندارد خود و عدم استفاده از فن مکنده در انتهای سمت دود خروجی از مبدل فشار ضعیف، افت فشار سمت پوسته در مبدل ها به مقدار حداقل 0.04 bar درنظر گرفته شده است. در شکل های ۱۰ و ۱۱ نیز می‌توان نمودارهای T-S و Mollier مربوط به رفتار ترمودینامیکی سیکل بازتوانی شده را مشاهده کرد. در شکل های ۱۲ و ۱۳ می‌توان نمودارهای حرارت-دما (QT diagram) و نمودار رفتار اگزرژی مبدل ها را مشاهده کرد. در این نمودارها می‌توان پروفیل های دمایی هر دو جریان، میزان حرارت تبادل شده و میزان اگزرژی تبادل یافته و اگزرژی تلف شده در مبدل های حرارتی را مشاهده کرد و تغییرات آنها را بررسی نمود.

جدول(۲) مشخصات و پارامتر های ترمودینامیکی مبدل های حرارتی فشار قوی و فشار ضعیف

پارامتر	واحد	مبدل فشار ضعیف	مبدل فشار قوی	مبدل
فشار آب ورودی	bar	۱۶		۱۸۰
فشار گاز های داغ ورودی	bar	۱/۰۴		۱/۰۸
افت فشار مجاز آب	bar	۹		۱۰
افت فشار مجاز گاز های داغ	bar	۰/۰۴		۰/۰۴
دمای آب ورودی	°C	۵۲		۱۶۷
دمای آب خروجی	°C	۱۵۹/۱		۲۴۶
دمای گاز های داغ ورودی	°C	۳۱۶		۴۸۵
دمای گاز های داغ خروجی	°C	۱۳۳/۵		۳۳۶
دبی آب عبوری	Kg/s	۱۵۷/۵		۱۵۹/۳
دبی گاز های داغ عبوری	Kg/s	۳۱۷		۳۱۷
میزان حرارت مبادله شده	MW	۷۱/۲		۵۶



شکل(۱۰) نمودار TS مربوط به رفتار ترمودینامیکی سیکل بازتوانی شده نیروگاه

فهرست علائم:

اتلاف شده	<i>des</i>	
سوخت	<i>f</i>	اگررژی اتلاف شده، kw
آب تغذیه	<i>fw</i>	دیجرمی، kg/s
دود	<i>g</i>	ثابت جهانی گازها، R
ورودی	<i>i</i>	بویلر، B
خروجی	<i>o</i>	پمپ آب تغذیه بویلر، BFP
نسی	<i>r</i>	پمپ کندانسه مرحله اول، CP-۱st
گرمایش مجدد	<i>reh</i>	پمپ کندانسه مرحله دوم، CP-۲st
		انرژی مخصوص، kj/kg
		e
		kj، E
		اگررژی جریان، kw
		Ex
		تابع گیس، G
		m/s
		شتاب گرانش زمین، g
		توربین گاز، gt
		آنالوگی مخصوص، kj/kg
		h
		HPFWH
		مبدل حرارتی بازیاب فشار قوی
		HPH
		گرم کن آب تغذیه فشار قوی
		LHV
		ارزش حرارتی پائین سوخت
		LPFWH
		مبدل حرارتی بازیاب فشار ضعیف
		LPH
		گرم کن آب تغذیه فشار ضعیف
		atm
		P
		فشار، atm
		Q
		حرارت، kw
		s
		آنرژوبی مخصوص، kj/kg. ⁰ k
		st
		توربین بخار
		t
		زمان،
		T
		k، دما
		v
		سرعت
		W
		کار، kw
		Z
		ارتفاع، m

علائم یونانی

ε	اگررژی شیمیابی سوخت
η₁	بازده قانون اول (یازده حرارتی)
η₂	بازده قانون دوم (یازده اگررژتیک)
ζ	ضریب اگررژی سوخت ها
ψ	اگررژی مخصوص

زیرنویس ها

•	شرایط مبنای محیط
a	هوای
c ch	محفظه احتراق
c.s	سطح معیار
c.v	حجم معیار

تشکر و قدردانی:
در اینجا لازم میدانم از زحمات و همکاریهای آقایان
مهندس لطفی و مهندس عباسی، از همکاران شاغل در
نیروگاه شهید منتظری، به خاطر همکاریها یاشان کمال تشکر
را داشته باشم.

منابع

- [۱] آمار تفصیلی صنعت برق ایران، ویژه تولید، ۱۳۹۲
- [۲] صمدی رامین، بازتوانی نیروگاه بخار به روش جعبه هوایی
داغ، پایان نامه کارشناسی ارشد، دانشگاه خواجه نصیر الدین
طوسی، (۱۳۸۶).
- [۳] ترازاننامه انرژی سال ۸۶، دفتر برنامه ریزی کلان برق و
انرژی، معاونت برق و انرژی وزارت نیرو، ۱۳۸۶.
- [۴] حسینعلی پور س م ، مهرپناهی ع ، "بررسی اقتصادی
بازتوانی نیروگاه های بخار در مقایسه با احداث نیروگاه های
گازی" ، نشریه انرژی ایران، دوره ۱۲ شماره ۴ ، ۱۳۸۸ ، ۶۲-۴۱
- [۵] آمار تفصیلی صنعت برق ایران، ویژه مدیریت راهبردی،
۱۳۹۲، شرکت مادر تخصصی توانیر.
- [۶] A, Singh, P.E, and D, Kopecky, "Repowering Considerations for Converting Power Plants To Combine Cycle Power Plants", Publication, ASME IJPGE ۲۰۰۲-۲۶۱۶۹.
- [۷] Feenstra, J. and Kamminga, p. "Mechanical and Process Design Of the Flevo Power Station Conversion Project", Publication ASME ۸۹-GT-۳۸.
- [۸] Rattan K.Tawney , James. A. Bonner and Asem.M.Elgawhary, "Economic and Performance Evaluation Of Combined Cycle Reppowering Options" , Publication ASME GT-۲۰۰۲-۳۰۵۶۵.

- [۲۳] Stenzel ,William ,C . Sopocy , Dale , M . Pace , Stanley , E . "Repowering Existing Fossil Steam Plants" www.Sepril.com.
- [۲۴] Kudlu, N. (۱۹۸۹). Major Options and Considerations for Repowering With Gas Turbines,BETCHEL Project Report.
- [۲۵] حسینعلی پور س، مهرپناهی ع، "بهینه سازی بازتوانی گرمایش آب تغذیه موادی نیروگاه شهید رجایی بر اساس هزینه برق تولیدی" ، نشریه انجمن مهندسان مکانیک ایران ۱۳۸۹.
- [۲۶] Joyce, J.S.(۱۹۹۶). Parallel Repowering of Existing Steam Turbine Plants With Gas Turbines to Improve Their Operating Efficiency and Environmental Compatibility, Germany, pp۳۱-۴۰.
- [۲۷] Gambini, M. Guizzi, G.L. (۱۹۸۹). Repowering of Steam Power Plants for Medium-High Increase of Power Generated,IEEE,:۲۴۹۱-۲۴۹۸.
- [۲۸] آرشیو نیروگاه شهید منتظری اصفهان.
- [۲۹] لاک شیت های نیروگاه شهید منتظری اصفهان.
- [۳۰] حسینعلی پور س، مهرپناهی ع، مینی ک، "بررسی انجام بازتوانی کامل بر ارتقاء خصوصیات فنی اقتصادی یک نیروگاه بخار" ،مجله علمی -پژوهشی مکانیک مدرس، دوره ۱۱، شماره ۱، ۱۸-۱، ۱۳۹۰.
- [۳۱] J.P, Yadav, O, Singh, :Thermodynamic Analysis of Air Cooled Gas/Steam Combined Cycle Plants", ۲۰۰۶, journal-MC.
- [۳۲] Aljundi,IH, ۲۰۰۹," Energy and exergy analysis of a steam power plant in Jordan", Applied Thermal Engineering, ۲۹, ۳۲۴-۳۲۸.
- [۳۳] Ameri M, Ahmadi p, Khanmohammadi S, ۲۰۰۸," Exergy analysis of a ۴۰MW combined cycle power plant", international journal of energy research, ۳۲, ۱۷۵-۱۸۳.
- [۳۴] احمدی شیخ شبانی غ، طغرابی د، عظیمیان ا، "تحلیل انرژی و اگرژی نیروگاه شهید منتظری اصفهان" ، دومین کنفرانس انتقال حرارت و جرم ایران، سمنان، ۲۸ و ۲۹ آبان، ۱۳۹۳.
- [۳۵] <http://www.asimptote.nl>, ۲۰۱۰, [cycle-tempo software, release ۵], Delft univercity, the Netherlands.
- [۹] صنایع س، حمزه ای ای، "مدل سازی و بهینه سازی فنی اقتصادی بازسازی نیروگاه های بخار با استفاده از توربین های گاز" ، بیستمین کنفرانس بین المللی برق، ۱۳۸۵.
- [۱۰] Baghestani M, Ziabasharagh M, Khoshgoftar Manesh M H,"Evaluation of repowering in a gas fired steam power plant based on exergy and exergoeconomic analysis", world Renewable Energy Congress, sweden, ۲۰۱۱.
- [۱۱] مهرپناهی ع، حسین علیپور س، "بهینه سازی بازتوانی جزیی یک نیروگاه بخار توسط روش‌های NMSM و GAM" ، دومین کنفرانس صنعت نیروگاه های حرارتی، تهران، ۱۳۸۹.
- [۱۲] حسینعلی پور س، مهرپناهی ع، مینی ک، " تحلیل ترمودینامیک روش‌های موجود در انجام بازتوانی گرمایش آب تغذیه به روش پیمایشی" ، فصلنامه مکانیک هوا فضا، جلد ۸ شماره ۲، تابستان ۱۳۹۱ ، صفحات ۱۳ الی ۲۹.
- [۱۳] Shahnazari, M.R., Foroughi, D., and Fakhrian, H., "Repowering of Lowshan Power Plant", IGTC Conf, Tokyo, Japan, (۲۰۰۳).
- [۱۴] Maghsoodi Mehrabanik, Sadat Fani Yazdi S, Mehrpanahi A, Nikbakht Naser Abad S,"Optimization Of Exergy In Repowering Steam Power Plant By Feed Water Heating Using Genetic Algorithm " , Indian J.Sci.Res. ۱(۲) : ۱۸۳-۱۹۸, ۲۰۱۴.
- [۱۵] Zeki Mustafa, Glu Yilmazo, Durmaz Ali, " Hot windbox repowering of coal-fired thermal power plants", Turkish Journal of Engineering & Environmental Sciences, (۲۰۱۳) ۳۷: ۳۳ – ۴۱.
- [۱۶] Marcin Wołowicz, Jarosław Milewski, Krzysztof Badyda,"Feedwater repowering of ۸۰۰ MW supercritical steam power plant", Journal of Power Technologies ۹۲ (۲) (۲۰۱۲) ۱۲۷-۱۳۴.
- [۱۷] Matthias Fränkle," the standardized repowering solution for ۳۰۰mw steam power plants in russia", Siemens Power Generation (PG), Germany, ۲۰۰۶.
- [۱۸] Ehren, G. Schenk, H.R. (۲۰۰۳).Gas Turbine Based Power Plants, IGTC ۲۰۰۳ Tokyo.
- [۱۹] Kudlu, N. (۱۹۸۹). Major Options and Considerations for Repowering With Gas Turbines,BETCHEL Project Report.
- [۲۰] سرابچی ک، باتی ح، "بررسی ترمودینامیکی تبدیل یک نیروگاه بخار موجود به نیروگاه ترکیبی" ، هشتمین کنفرانس سالانه انجمن مهندسان مکانیک ایران، ۶۴۹-۶۵۹، ۱۳۷۹.
- [۲۱] Moore, T. (۱۹۹۵). Repowering as Competitive Strategy, Epri Journal.
- [۲۲] Walters,A.B.(۱۹۹۰). Power Plant Topping Cycle Repowering, Energy Engineering Journal, ۴۹-۷۱.